Modèles particulaires stochastiques pour des problèmes d'évolution adaptative et pour l'approximation de solutions statistiques

Tran Viet Chi

MODAL'X - Université Paris 10 Nanterre

Le 13 décembre 2006

Un modèle microscopique de population logistique structurée par âge

Populations structurées par traits et âge : application aux dynamiques adaptatives

Approximations des solutions statistiques d'EDP à conditions initiales aléatoires

Un modèle microscopique de population logistique structurée par âge

Populations structurées par traits et âge : application aux dynamiques adaptatives

Approximations des solutions statistiques d'EDP à conditions initiales aléatoires

Motivations

- populations structurées : les individus sont caractérisés par des variables qui affectent leurs capacités reproductives et leurs survies (traits, âges...)
- modèle de population discrète, basé sur les dynamiques individuelles,
- ▶ âge : modélisation des histoires de vie et applications en biologie, en écologie (S. Méléard, R. Ferrière), applications en épidémiologie (H. De Arazoza, P. Bertail, S. Clémençon)

Motivations

- populations structurées : les individus sont caractérisés par des variables qui affectent leurs capacités reproductives et leurs survies (traits, âges...)
- modèle de population discrète, basé sur les dynamiques individuelles,
- ▶ âge : modélisation des histoires de vie et applications en biologie, en écologie (S. Méléard, R. Ferrière), applications en épidémiologie (H. De Arazoza, P. Bertail, S. Clémençon)

But:

- Description d'un modèle simple de population particulaire, stochastique et structurée par âge; expliquer le comportement en temps "grand" et en grande population.
- Considérer des modèles d'évolution pour des populations structurées en traits et en âge : exemples et approximations obtenues en séparant les échelles de temps de l'écologie et de l'évolution.

Population logistique structurée par âge

Dynamique:

- ▶ Chaque individu d'âge $a \in \mathbb{R}_+$ dans la population de taille N:
 - 1. se reproduit de façon asexuée au taux b(a).
 - 2. vieillit avec la vitesse 1
 - 3. meurt au taux $d(a) + \eta N$,

Population logistique structurée par âge

Dynamique:

- ▶ Chaque individu d'âge $a \in \mathbb{R}_+$ dans la population de taille N:
 - 1. se reproduit de façon asexuée au taux b(a).
 - 2. vieillit avec la vitesse 1
 - 3. meurt au taux $d(a) + \eta N$,
- ► Généralisation à des âges vectoriels à croissance non linéaire, à des taux de morts non logistiques,

Population logistique structurée par âge

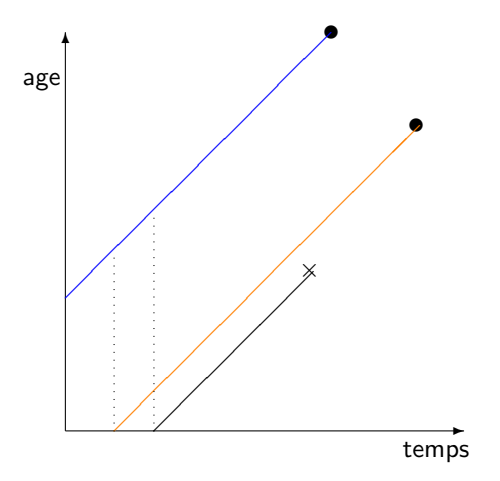
Dynamique:

- ▶ Chaque individu d'âge $a \in \mathbb{R}_+$ dans la population de taille N:
 - 1. se reproduit de façon asexuée au taux b(a).
 - 2. vieillit avec la vitesse 1
 - 3. meurt au taux $d(a) + \eta N$,
- ► Généralisation à des âges vectoriels à croissance non linéaire, à des taux de morts non logistiques,

Historique:

- Processus de branchement structurés par âge : Bellman Harris (1952) Athreya Ney (70)
- Processus de naissances et de morts structuré par âge : Kendall (49), Crump Mode (68-69), Jagers (69), Doney (72)
- ▶ Interactions : Wang (77) Solomon (87) Oelschläger (90)

Système de particules



Dynamique de la population globale

$$Z_t(da) = \sum_{i=1}^{N_t} \delta_{a_i(t)}$$

Dynamique de la population globale

$$Z_t(da) = \sum_{i=1}^{N_t} \delta_{a_i(t)}$$

Description par une EDS dirigée par une mesure aléatoire de Poisson (Fournier Méléard (03), Champagnat et al. (06))

Dynamique de la population globale

$$Z_t^{n}(da) = \frac{1}{n} \sum_{i=1}^{N_t^{n}} \delta_{a_i(t)}$$

Description par une EDS dirigée par une mesure aléatoire de Poisson (Fournier Méléard (03), Champagnat et al. (06))

Renormalisation en grande population

- ▶ Populations initiales de tailles proportionnelle à $n \in \mathbb{N}^*$
- ▶ Poids des individus renormalisé par 1/n
- $ightharpoonup Z_0^n=rac{1}{n}\sum_{i=1}^{N_0^n}\delta_{a_i(0)}\Rightarrow \xi_0\in\mathcal{M}_F(\mathbb{R}_+)$ en loi,
- $ightharpoonup d(a) + nN_t \Longrightarrow d(a) + n\langle Z_t^n, 1 \rangle.$

Propriétés de moments et de martingales

Sous de bonnes conditions de moment pour Z_0^n , il existe une unique solution forte $(Z_t^n)_{t \in \mathbb{R}_+}$ pour l'EDS renormalisée par $n \in \mathbb{N}^*$.

Propriétés de moments et de martingales

Sous de bonnes conditions de moment pour Z_0^n , il existe une unique solution forte $(Z_t^n)_{t \in \mathbb{R}_+}$ pour l'EDS renormalisée par $n \in \mathbb{N}^*$.

et
$$\forall f : (a,s) \mapsto f_s(a)$$
 de $\mathcal{C}^1_b(\mathbb{R}^2_+,\mathbb{R})$,

$$\langle Z_t^n, f_t \rangle = \langle Z_0^n, f_0 \rangle + \int_0^t \int_{\mathbb{R}_+} \left[\frac{\partial f_s}{\partial a}(a) + \frac{\partial f_s}{\partial s}(a) + f_s(0)b(a) - f_s(a) \left(d(a) + \eta \langle Z_s^n, 1 \rangle \right) \right] Z_s^n(da) \, ds + M_t^{n,f}$$

où $M^{n,f}$ définit une martingale de carré intégrable issue de 0,

Propriétés de moments et de martingales

Sous de bonnes conditions de moment pour Z_0^n , il existe une unique solution forte $(Z_t^n)_{t \in \mathbb{R}_+}$ pour l'EDS renormalisée par $n \in \mathbb{N}^*$.

et
$$\forall f : (a,s) \mapsto f_s(a)$$
 de $\mathcal{C}^1_b(\mathbb{R}^2_+,\mathbb{R})$,

$$\langle Z_t^n, f_t \rangle = \langle Z_0^n, f_0 \rangle + \int_0^t \int_{\mathbb{R}_+} \left[\frac{\partial f_s}{\partial a}(a) + \frac{\partial f_s}{\partial s}(a) + f_s(0)b(a) - f_s(a) \left(d(a) + \eta \langle Z_s^n, 1 \rangle \right) \right] Z_s^n(da) \, ds + M_t^{n,f}$$

où $M^{n,f}$ définit une martingale de carré intégrable issue de 0, et de variation quadratique prévisible :

$$\langle M^{n,f}\rangle_t = \frac{1}{n} \int_0^t \int_{\mathbb{R}_+} \left[f_s^2(0)b(a) + f_s^2(a) \left(d(a) + \eta \langle Z_s^n, 1 \rangle \right) \right] Z_s^n(da) \, ds.$$

Limite en grande population

Sous de bonnes hypothèses de moments pour $(Z_0^n)_{n\in\mathbb{N}^*}$, et si $(Z_0^n)_{n\in\mathbb{N}^*}$ converge étroitement en loi vers $\xi_0 \in \mathcal{M}_F(\mathbb{R}_+)$

$$(Z^n)_{n\in\mathbb{N}^*}$$
 converge en loi dans $\mathbb{D}(\mathbb{R}_+,\mathcal{M}_F(\mathbb{R}_+))$ vers $\xi\in\mathcal{C}(\mathbb{R}_+,\mathcal{M}_F(\mathbb{R}_+))$ tel que : $\forall f\in\mathcal{C}^1_b(\mathbb{R}_+^2,\mathbb{R})$,

$$\begin{aligned} \langle \xi_t, f_t \rangle &= \langle \xi_0, f_0 \rangle + \int_0^t \int_{\mathbb{R}_+} \left[\frac{\partial f_s}{\partial a}(a) + \frac{\partial f_s}{\partial s}(a) \right. \\ &+ \left. f_s(0)b(a) - f_s(a) \left(d(a) + \eta \langle \xi_s, 1 \rangle \right) \right] \xi_s(da) \, ds. \end{aligned}$$

Limite en grande population

Sous de bonnes hypothèses de moments pour $(Z_0^n)_{n\in\mathbb{N}^*}$, et si $(Z_0^n)_{n\in\mathbb{N}^*}$ converge étroitement en loi vers $\xi_0 \in \mathcal{M}_F(\mathbb{R}_+)$

$$(Z^n)_{n\in\mathbb{N}^*}$$
 converge en loi dans $\mathbb{D}(\mathbb{R}_+,\mathcal{M}_F(\mathbb{R}_+))$ vers $\xi\in\mathcal{C}(\mathbb{R}_+,\mathcal{M}_F(\mathbb{R}_+))$ tel que : $\forall f\in\mathcal{C}^1_b(\mathbb{R}_+^2,\mathbb{R})$,

$$\begin{aligned} \langle \xi_t, f_t \rangle &= \langle \xi_0, f_0 \rangle + \int_0^t \int_{\mathbb{R}_+} \left[\frac{\partial f_s}{\partial a}(a) + \frac{\partial f_s}{\partial s}(a) \right. \\ &+ \left. f_s(0)b(a) - f_s(a)\left(d(a) + \eta \langle \xi_s, 1 \rangle\right) \right] \xi_s(da) \, ds. \end{aligned}$$

Il existe une unique solution à cette équation.

Lorsque ξ_0 est absolument continue par rapport à la mesure de Lebesgue sur \mathbb{R}_+ , les marginales ξ_t pour tout $t \in \mathbb{R}_+$ sont absolument continues par rapport à la mesure de Lebesgue sur \mathbb{R}_+ .

Lorsque ξ_0 est absolument continue par rapport à la mesure de Lebesgue sur \mathbb{R}_+ , les marginales ξ_t pour tout $t \in \mathbb{R}_+$ sont absolument continues par rapport à la mesure de Lebesgue sur \mathbb{R}_+ .

La famille des densités vérifie :

$$\begin{split} &\frac{\partial m}{\partial t}(a,t) + \frac{\partial m}{\partial a}(a,t) = -m(a,t) \left(d(a) + \eta M_t\right) \\ &m(0,t) = \int_{\mathbb{R}_+} m(a,t) b(a) da, \quad M_t = \int_{\mathbb{R}_+} m(a,t) da, \\ &m(a,0) = m_0(a). \end{split}$$

McKendrick (26) Von Foerster (59), Gurtin-MacCamy (74)

Lorsque ξ_0 est absolument continue par rapport à la mesure de Lebesgue sur \mathbb{R}_+ , les marginales ξ_t pour tout $t \in \mathbb{R}_+$ sont absolument continues par rapport à la mesure de Lebesgue sur \mathbb{R}_+ .

La famille des densités vérifie :

$$\begin{split} &\frac{\partial m}{\partial t}(a,t) + \frac{\partial m}{\partial a}(a,t) = -m(a,t) \left(d(a) + \eta M_t\right) \\ &m(0,t) = \int_{\mathbb{R}_+} m(a,t) b(a) da, \quad M_t = \int_{\mathbb{R}_+} m(a,t) da, \\ &m(a,0) = m_0(a). \end{split}$$

McKendrick (26) Von Foerster (59), Gurtin-MacCamy (74)

Il existe une unique solution classique à cette équation si $m_0(a) \in \mathcal{C}^1(\mathbb{R}_+) \cap L^1(\mathbb{R}_+)$ (expression explicite).

Lorsque ξ_0 est absolument continue par rapport à la mesure de Lebesgue sur \mathbb{R}_+ , les marginales ξ_t pour tout $t \in \mathbb{R}_+$ sont absolument continues par rapport à la mesure de Lebesgue sur \mathbb{R}_+ .

La famille des densités vérifie :

$$\begin{split} &\frac{\partial m}{\partial t}(a,t) + \frac{\partial m}{\partial a}(a,t) = -m(a,t) \left(d(a) + \eta M_t\right) \\ &m(0,t) = \int_{\mathbb{R}_+} m(a,t) b(a) da, \quad M_t = \int_{\mathbb{R}_+} m(a,t) da, \\ &m(a,0) = m_0(a). \end{split}$$

McKendrick (26) Von Foerster (59), Gurtin-MacCamy (74)

Il existe une unique solution classique à cette équation si $m_0(a) \in \mathcal{C}^1(\mathbb{R}_+) \cap L^1(\mathbb{R}_+)$ (expression explicite).

Comportement en temps long: Marcati (82) Busenberg lanelli (83) Webb (85).

Cas sur-critique :
$$\int_{\mathbb{R}_+} b(a) \exp\left(-\int_0^a d(\alpha) d\alpha\right) da > 1$$
, alors :
$$\lim_{t \to +\infty} m(a,t) =: \widehat{m}(a).$$

Cas sur-critique :
$$\int_{\mathbb{R}_+} b(a) \exp\left(-\int_0^a d(\alpha)d\alpha\right) da > 1$$
, alors :
$$\lim_{t \to +\infty} m(a,t) =: \widehat{m}(a).$$

Théorème Central Limite : sur [0, T]

Cas sur-critique :
$$\int_{\mathbb{R}_+} b(a) \exp\left(-\int_0^a d(\alpha) d\alpha\right) da > 1$$
, alors :
$$\lim_{t \to +\infty} m(a,t) =: \widehat{m}(a).$$

Théorème Central Limite : sur [0, T]

En particulier, Z^n "entre" dans un voisinage de $\widehat{m}(a)da$ au bout d'un temps en log n.

Cas sur-critique :
$$\int_{\mathbb{R}_+} b(a) \exp\left(-\int_0^a d(\alpha) d\alpha\right) da > 1$$
, alors :

$$\lim_{t\to+\infty} m(a,t) =: \widehat{m}(a).$$

Théorème Central Limite : sur [0, T]

En particulier, Z^n "entre" dans un voisinage de $\widehat{m}(a)da$ au bout d'un temps en log n. Mais :

$$\mathbb{P}\left(\exists t \in \mathbb{R}_+, \, \langle Z^n_t, 1 \rangle = 0\right) = 1.$$

Déviations exponentielles

T>0. Pour tout ensemble mesurable $B\subset \mathbb{D}([0,T],(\mathcal{M}_F(\mathbb{R}_+),w)),$

$$-\inf_{z\in \hat{B}\cap\mathfrak{G}}\mathcal{I}_{\xi_{0}}^{T}(z) \leq \liminf_{n\to+\infty}\frac{1}{n}\log\mathbb{P}(Z^{n}\in B)
\leq \limsup_{n\to+\infty}\frac{1}{n}\log\mathbb{P}(Z^{n}\in B) \leq -\inf_{z\in \bar{B}}\mathcal{I}_{\xi_{0}}^{T}(z).$$

La minoration est locale, mais \mathfrak{G} contient ξ .

Déviations exponentielles

T>0. Pour tout ensemble mesurable $B\subset \mathbb{D}([0,T],(\mathcal{M}_F(\mathbb{R}_+),w)),$

$$-\inf_{z\in \tilde{B}\cap\mathfrak{G}}\mathcal{I}_{\xi_{0}}^{T}(z) \leq \liminf_{n\to+\infty}\frac{1}{n}\log\mathbb{P}(Z^{n}\in B)$$

$$\leq \limsup_{n\to+\infty}\frac{1}{n}\log\mathbb{P}(Z^{n}\in B)\leq -\inf_{z\in \tilde{B}}\mathcal{I}_{\xi_{0}}^{T}(z).$$

La minoration est locale, mais \mathfrak{G} contient ξ .

Adaptation des résultats de Freidlin et Ventzell (84) sur les temps de sortie de domaine.

Plan de la preuve

Tension exponentielle + majoration des grandes déviations :

- Dembo et Zeitouni (93),
- Difficulté liée aux masses non bornées : $\zeta_N^n = \inf\{t \in \mathbb{R}_+, \quad \langle Z_t^n, 1 + |a| \rangle > N\}$
- ▶ Tension exponentielle du processus localisé $(Z^n_{.\wedge \zeta^n_u})$: Dawson et Gärtner (87), Graham et Méléard (97),
- adaptation d'un argument de martingales exponentielles de DG (87) pour s'affranchir de la localisation, $\mathbb{P}(\zeta_N^n > T) \leq e^{-nL}$

Plan de la preuve

Tension exponentielle + majoration des grandes déviations :

- Dembo et Zeitouni (93),
- Difficulté liée aux masses non bornées : $\zeta_N^n = \inf\{t \in \mathbb{R}_+, \quad \langle Z_t^n, 1 + |a| \rangle > N\}$
- ▶ Tension exponentielle du processus localisé $(Z^n_{.\wedge \zeta^n_u})$: Dawson et Gärtner (87), Graham et Méléard (97),
- adaptation d'un argument de martingales exponentielles de DG (87) pour s'affranchir de la localisation, $\mathbb{P}(\zeta_N^n > T) \leq e^{-nL}$

Minoration des grandes déviations :

- Léonard (95), Kipnis Léonard (95).
- ▶ Par un théorème de Riesz sur les espaces d'Orlicz : Lien entre les trajectoires du domaine de $\mathcal{I}_{\varepsilon_0}^T$ et des équations perturbées.
- Difficultés : Prendre en compte des événements différents, régulariser les perturbations pour appliquer un théorème de Girsanov (Lemme de Bishop-Phelps-Israel).

Populations structurées par traits et âge : application aux dynamiques adaptatives

Populations structurées par traits et âge

On considère maintenant une population structurée par un âge $a \in \mathbb{R}_+$ et par un trait $x \in \mathcal{X} \subset \mathbb{R}^d$ qui se transmet héréditairement, sauf s'il se produit une mutation.

Applications en théorie de l'évolution :

- comment l'âge influence-t-il l'évolution du trait?
- quelles stratégies d'histoires de vie vont se dégager?
- ▶ Quelles sont les structures d'âge qui vont apparaître à l'équilibre pour un trait donné?

Dynamique d'une population avec traits et âge

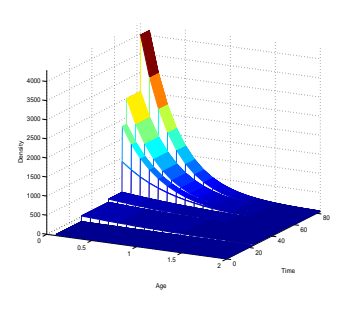
- 1. reproduction asexuée : taux b(x, a)
 - ▶ avec probabilité $p \in [0,1]$: mutation et le nouveau trait est tiré dans une distribution k(x, h)dh,
 - ▶ avec probabilité $1 p \in [0, 1]$: transmission héréditaire du trait du parent à ses descendants.
- 2. vieillissement avec vitesse 1,
- 3. mort au taux $d(x,a) + \int_{\mathcal{X} \times \mathbb{R}_+} U(x,y) Z(dy,da)$, où U est un noyau de compétition ne dépendant que des traits.

Exemple 1:

- ightharpoonup trait 1 : taille $x \in [0,4]$,
- ightharpoonup age $a \in \mathbb{R}_+$,
- $b(x, a) = x(4-x)e^{-a}$
- \blacktriangleright mutations gaussiennes avec $p \in [0, 1]$,
- ▶ taux de mort logistique : $d(x, a, N_t) = \frac{1}{4} + 0.001(4 x)N_t$

Application aux dynamiques adaptatives

- ▶ Metz et al. (96), Champagnat (06)
- Hypothèses :
 - 1. Mutations rares : probabilité de mutation $u_n p$, $e^{-nV} << u_n << 1/(n \log n)$,
 - 2. Grandes populations,
 - 3. Non coexistence à long terme de deux traits différents,
- Séparation des échelles de temps.



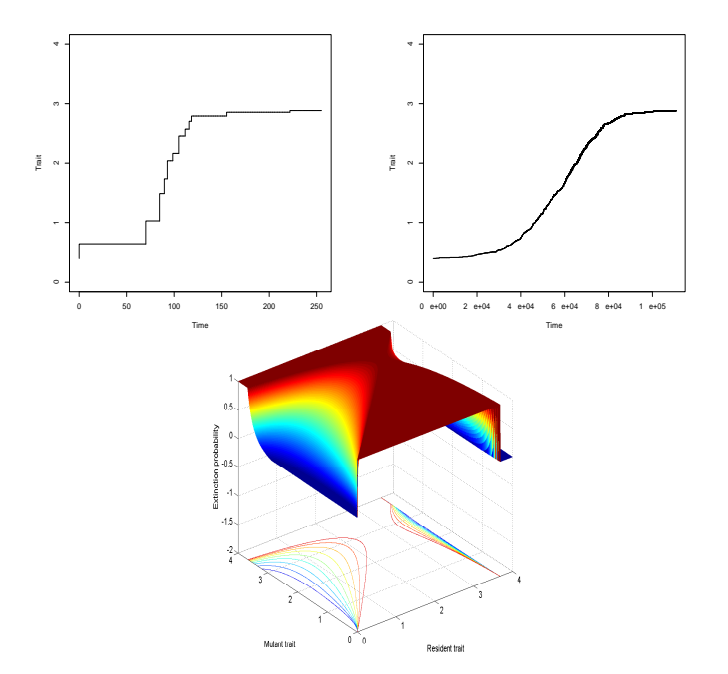
Processus de Trait Substitution Sequence structuré par âge

Générateur infinitésimal :

$$L\phi(x) = \int_{\mathcal{X}} (\phi(x+h) - \phi(x))$$
$$(1 - z_0(x+h,x))p \int_{\mathbb{R}_+} b(x,a)\widehat{m}(x,a)da k(x,h)P(dh).$$

- $\triangleright p k(x,h) \int_0^{+\infty} b(x,a) \hat{m}(x,a) da$: taux de génération d'un mutant de trait x + h par une population de trait x à l'équilibre
- $(1-z_0(x+h,x))$: fitness d'un mutant de trait x+h dans la population de trait x. $z_0(x + h, x)$ est solution de l'équation suivante :

$$z=\int_0^{+\infty}e^{(z-1)\int_0^ab(y,\alpha)d\alpha}d(y,a,x)e^{-\int_0^ad(y,\alpha,x)d\alpha}da.$$



Exemple 2

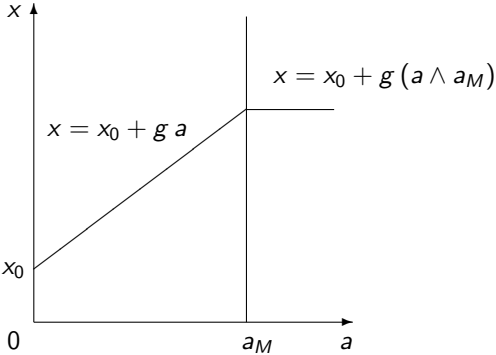
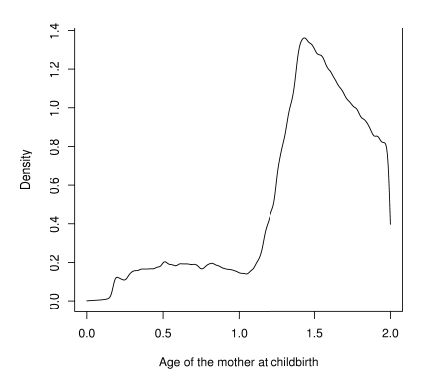
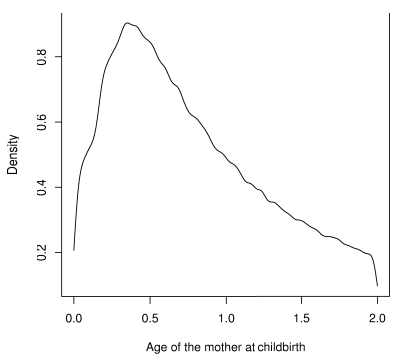


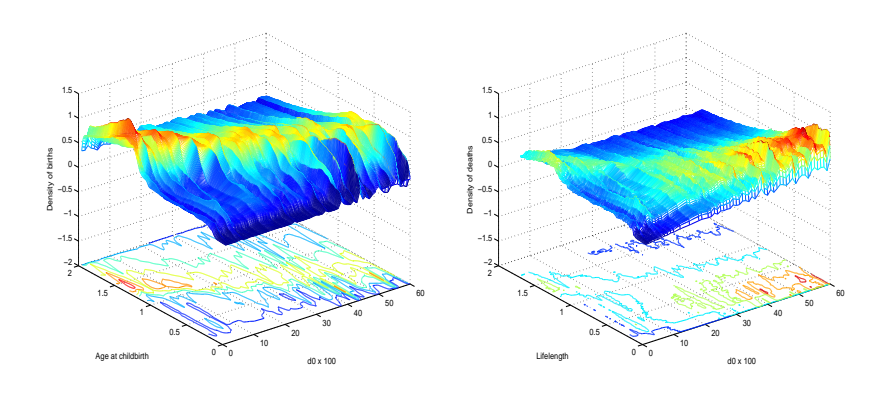
Fig.: Taille x d'un individu de taux de croissance g et d'âge à maturité a_M en fonction de son âge.

- ▶ taux de mort naturelle juvénile en $d_0 \times g$ où d_0 paramètre l'"hostilité" de l'environnement,
- compétition non logistique faisant intervenir un noyau privilégiant les individus de grande taille.

$d_0=3,3.10^{-3},\ d_0=1$







Approximations des solutions statistiques d'EDP à conditions initiales aléatoires

▶ EDP avec conditions initiales aléatoires,

- ▶ EDP avec conditions initiales aléatoires,
- ▶ flot aléatoire : sa loi est appelée solution statistique de l'EDP

- ▶ EDP avec conditions initiales aléatoires,
- ▶ flot aléatoire : sa loi est appelée solution statistique de l'EDP
- ▶ modélisation de phénomènes complexes, introduction de la notion d'incertitude sur la C.L.

- ▶ EDP avec conditions initiales aléatoires,
- ▶ flot aléatoire : sa loi est appelée solution statistique de l'EDP
- modélisation de phénomènes complexes, introduction de la notion d'incertitude sur la C.L.
- ▶ Vishik et Fursikov (1980) Constantin et Wu (1997) : Navier-Stokes 2D, outils analytiques

- EDP avec conditions initiales aléatoires.
- ▶ flot aléatoire : sa loi est appelée solution statistique de l'EDP
- modélisation de phénomènes complexes, introduction de la notion d'incertitude sur la C.L.
- ▶ Vishik et Fursikov (1980) Constantin et Wu (1997) : Navier-Stokes 2D, outils analytiques
- Marchioro-Pulvirenti (1982), Méléard (2000): interprétation probabiliste avec CI déterministe, équation des vortex,

- EDP avec conditions initiales aléatoires.
- ▶ flot aléatoire : sa loi est appelée solution statistique de l'EDP
- modélisation de phénomènes complexes, introduction de la notion d'incertitude sur la C.L.
- ▶ Vishik et Fursikov (1980) Constantin et Wu (1997) : Navier-Stokes 2D, outils analytiques
- Marchioro-Pulvirenti (1982), Méléard (2000): interprétation probabiliste avec CI déterministe, équation des vortex,
- ► Talay et Vaillant (2003) : McKean-Vlasov CI aléatoire, approche probabiliste.

Une EDP de McKean-Vlasov "simple"

1. $\theta(\omega)$ est une variable aléatoire réelle de loi ν absolument continue par rapport à la mesure de Lebesgue sur $\mathbb R$ et : $P(d\omega) - a.s., \forall t \in [0, T], \forall x \in \mathbb{R},$

$$\begin{cases} \frac{\partial}{\partial t} p(t, x, \theta) &= -\frac{\partial}{\partial x} \left(u_b(t, x, \theta) p(t, x, \theta) \right) + \frac{\sigma^2}{2} \Delta p(t, x, \theta) \\ p(0, x, \theta) &= p_0(x, \theta) \\ u_b(t, x, \theta) &= \int_{\mathbb{R}} b(x, y) p(t, y, \theta) dy \\ \mathcal{L}(\theta) &= \nu. \end{cases}$$

Exemple:

$$p_0(x,\theta) = \frac{1}{\sqrt{2\pi}} \exp\left(-\frac{(x-\theta)^2}{2}\right)$$

où la loi de θ est un mélange de lois normales

Une EDP de McKean-Vlasov "simple"

1. $\theta(\omega)$ est une variable aléatoire réelle de loi ν absolument continue par rapport à la mesure de Lebesgue sur $\mathbb R$ et : $P(d\omega) - a.s., \forall t \in [0, T], \forall x \in \mathbb{R},$

$$\begin{cases} \frac{\partial}{\partial t} p(t, x, \theta) &= -\frac{\partial}{\partial x} \left(u_b(t, x, \theta) p(t, x, \theta) \right) + \frac{\sigma^2}{2} \Delta p(t, x, \theta) \\ p(0, x, \theta) &= p_0(x, \theta) \\ u_b(t, x, \theta) &= \int_{\mathbb{R}} b(x, y) p(t, y, \theta) dy \\ \mathcal{L}(\theta) &= \nu. \end{cases}$$

2. Solutions faibles mesures : $P(d\omega) - a.s., \forall \phi \in C_b^2(\mathbb{R}, \mathbb{R}), \forall t \in [0, T],$

$$\begin{split} \int_{\mathbb{R}} \phi(x) Q_t(dx,\theta) &= \int_{\mathbb{R}} \phi(x) p_0(x,\theta) dx + \int_0^t \int_{\mathbb{R}} u_b(s,x,\theta) \frac{\partial \phi}{\partial x}(x) Q_s(dx,\theta) ds \\ &+ \int_0^t \int_{\mathbb{R}} \frac{\sigma^2}{2} \Delta \phi(x) Q_s(dx,\theta) ds \\ u_b(t,x,\theta) &= \int_{\mathbb{R}} b(x,y) Q_t(dy,\theta) \\ Q_0(dx,\theta) &= p_0(x,\theta) dx, \quad \mathcal{L}(\theta) = \nu. \end{split}$$

Solutions statistiques

Résumé:

Solutions statistiques :

$$m = \mathcal{L}(Q) \in \mathcal{P}(\mathcal{C}([0, T], \mathcal{P}(\mathbb{R}))).$$

Solutions statistiques spatiales :

$$m_t = \mathcal{L}(Q_t) \in \mathcal{P}(\mathcal{P}(\mathbb{R})).$$

Intensité de m_t :

$$\langle I(m_t), f \rangle = \int_{\mathcal{P}(\mathbb{R})} \langle Q, f \rangle m_t(dQ) = \int_{\mathbb{R}} \langle [S \circ \Phi(a)]_t, f \rangle \nu(da).$$

Première approche (Talay et Vaillant 2003)

Talay et Vaillant (2003): Simulations imbriquées, $\langle I(m_t), f \rangle = \int_{\mathbb{D}} \langle [S \circ \Phi(a)]_t, f \rangle \nu(da) = \int_{\mathbb{D}} \mathbb{E} (f(X_t(a))) \nu(da).$ Sznitman (1991), Méléard (1996) : $Q_t(dx, a) = \mathcal{L}(X_t(a))$ $\begin{cases} dX_t(a) = u_b(t, X_t(a), a)dt + \sigma dW_t \\ u_b(t, x, a) = \mathbb{E}\left(b(x, X_t(a))\right) \\ f\left(X_0(a)\right) = p_0(x, a)dx \end{cases}$

Première approche (Talay et Vaillant 2003)

Talay et Vaillant (2003): Simulations imbriquées, Simulations directes.

$$\begin{split} \langle I(m_t),f\rangle &= \int_{\mathbb{R}} \langle [S\circ\Phi(a)]_t,f\rangle\nu(da) = \int_{\mathbb{R}} \mathbb{E}\left(f(X_t(a))\right)\nu(da). \\ \text{Sznitman (1991), Méléard (1996)} : Q_t(dx,a) &= \mathcal{L}(X_t(a)) \\ & \begin{cases} dX_t(a) = u_b(t,X_t(a),a)dt + \sigma dW_t \\ u_b(t,x,a) &= \mathbb{E}\left(b(x,X_t(a))\right) \\ \mathcal{L}\left(X_0(a)\right) &= p_0(x,a)dx. \end{cases} \end{split}$$

Approximation directe de $\langle I(m_t), f \rangle$

$$\langle I(m_t), f \rangle = \int_{\mathbb{R}} \mathbb{E}\left(f(X_t(a))\right) \nu(da) = \mathbb{E}\left(f(X_t(\theta))\right)$$

$$X_{t}(\theta) = X_{0}(\theta) + \sigma W_{t} + \int_{0}^{t} u_{b}(s, X_{s}(\theta), \theta) ds$$

$$\mathcal{L}(X_{0}(\theta), \theta) = p_{0}(x, a) dx \, \nu(da), \quad u_{b}(s, X_{s}(\theta), \theta) = \quad \mathbb{E}\left(b(x, X_{s}(\theta)) \mid \theta\right)|_{x = X_{s}(\theta)}.$$

Approximation directe de $\langle I(m_t), f \rangle$

$$\langle I(m_t), f \rangle = \int_{\mathbb{R}} \mathbb{E} \left(f(X_t(a)) \right) \nu(da) = \mathbb{E} \left(f(X_t(\theta)) \right)$$

$$X_{t}(\theta) = X_{0}(\theta) + \sigma W_{t} + \int_{0}^{t} u_{b}(s, X_{s}(\theta), \theta) ds$$

$$\mathcal{L}(X_{0}(\theta), \theta) = p_{0}(x, a) dx \, \nu(da), \quad u_{b}(s, X_{s}(\theta), \theta) = \quad \mathbb{E}\left(b(x, X_{s}(\theta)) \mid \theta\right)|_{x = X_{s}(\theta)}.$$

Approximation:

$$\langle I(m_t), f \rangle \sim \frac{1}{N} \sum_{i=1}^N f\left(\bar{X}_T^{j,N}(\theta_j)\right).$$

On simule N réalisations $(\theta_i)_{i \in [1,N]}$ de θ ,

On associe à chaque θ_i une particule de CI de loi $p_0(x,\theta_i)dx$ et telle que :

$$\bar{X}_{t_{k+1}}^{i,N} = \bar{X}_{t_k}^{i,N} + \widehat{u}_b(t_k, \bar{X}_{t_k}^{i,N}, \theta_i) \Delta t + \sigma(W_{t_k}^i - W_{t_{k-1}}^i),$$

où $\widehat{u}_b(t,x,a)$ est un estimateur de $\mathbb{E}(b(x,X_0(\theta))\mid \theta=a)$

1. $\psi_{-1,0}$ $\psi_{0,0}$ ondelettes père et mère,

- 1. $\psi_{-1,0}$ $\psi_{0,0}$ ondelettes père et mère,
- 2. $I_1 \in \mathbb{N}, I_2 \in \mathbb{Z},$ $\psi_{h_1 l_2}(x) = 2^{l_1/2} \psi_{0,0}(2^{l_1} x - l_2)$ $\psi_{-1,l_2}(x) = \psi_{-1,0}(x - l_2).$

- 1. $\psi_{-1,0}$ $\psi_{0,0}$ ondelettes père et mère,
- 2. $I_1 \in \mathbb{N}, I_2 \in \mathbb{Z},$ $\psi_{I_1I_2}(x) = 2^{I_1/2}\psi_{0,0}(2^{I_1}x - I_2)$ $\psi_{-1,I_2}(x) = \psi_{-1,0}(x - I_2).$
- 3. $(\psi_{l_1 l_2})_{l_1 \geq -1, l_2 \in \mathbb{Z}}$ Base Hilbertienne de $L^2(\mathbb{R})$.

- 1. $\psi_{-1,0}$ $\psi_{0,0}$ ondelettes père et mère,
- 2. $I_1 \in \mathbb{N}, I_2 \in \mathbb{Z},$ $\psi_{h_{l_2}}(x) = 2^{l_1/2}\psi_{0,0}(2^{l_1}x - l_2)$ $\psi_{-1,l_2}(x) = \psi_{-1,0}(x - l_2).$
- 3. $(\psi_{l_1 l_2})_{l_1 \geq -1, l_2 \in \mathbb{Z}}$ Base Hilbertienne de $L^2(\mathbb{R})$.
- 4. Kerkyacharian et Picard (2003) : $\alpha \in [0,1] \mapsto u_b(t_k, x, G^{-1}(\alpha)) = \mathbb{E} (b(x, X_{t_k}(\theta)) \mid \theta = G^{-1}(\alpha)) \in L^2([0,1])$

- 1. $\psi_{-1,0}$ $\psi_{0,0}$ ondelettes père et mère,
- 2. $I_1 \in \mathbb{N}, I_2 \in \mathbb{Z},$ $\psi_{l_1 l_2}(x) = 2^{l_1/2} \psi_{0,0}(2^{l_1} x - l_2)$ $\psi_{-1,l_2}(x) = \psi_{-1,0}(x - l_2).$
- 3. $(\psi_{l_1 l_2})_{l_1 \geq -1, l_2 \in \mathbb{Z}}$ Base Hilbertienne de $L^2(\mathbb{R})$.
- 4. Kerkyacharian et Picard (2003) : $\alpha \in [0,1] \mapsto u_b(t_k, x, G^{-1}(\alpha)) = \mathbb{E} \left(b(x, X_{t_k}(\theta)) \mid \theta = G^{-1}(\alpha) \right) \in L^2([0,1])$
- 5. $\forall \alpha \in [0,1], u_b(t_k, x, G^{-1}(\alpha)) = \sum_{l_1, l_2} \beta_{l_1 l_2}^{(k)}(x) \psi_{l_1 l_2}(\alpha)$.

- 1. $\psi_{-1,0}$ $\psi_{0,0}$ ondelettes père et mère,
- 2. $l_1 \in \mathbb{N}, l_2 \in \mathbb{Z}$. $\psi_{l_1 l_2}(x) = 2^{l_1/2} \psi_{0,0}(2^{l_1}x - l_2)$ $\psi_{-1,l_2}(x) = \psi_{-1,0}(x-l_2).$
- 3. $(\psi_{l_1 l_2})_{l_1 \ge -1, l_2 \in \mathbb{Z}}$ Base Hilbertienne de $L^2(\mathbb{R})$.
- 4. Kerkyacharian et Picard (2003): $\alpha \in [0,1] \mapsto u_b(t_k, x, G^{-1}(\alpha)) = \mathbb{E} (b(x, X_{t_k}(\theta)) \mid \theta = G^{-1}(\alpha)) \in L^2([0,1])$
- 5. $\forall \alpha \in [0,1], u_b(t_k, x, G^{-1}(\alpha)) = \sum_{h \in \mathcal{D}} \beta_{h \mid h}^{(k)}(x) \psi_{h \mid h}(\alpha)$.
- 6. Equivalent à : $\forall a \in \Theta$, $u_b(t_k, x, a) = \sum_{l, l_0} \beta_{l, l_0}^{(k)}(x) \psi_{l_1 l_2}(G(a))$. où :

$$\beta_{l_1 l_2}^{(k)}(x) = \int_{\mathbb{R}} \psi_{l_1 l_2}(G(a)) u_b(t_k, x, a) \nu(da).$$

$$\widehat{\beta}_{l_1 l_2}^{(k)}(x) = \frac{1}{N} \sum_{i=1}^{N} \psi_{l_1 l_2} (G_N(\theta_i)) b(x, \bar{X}_{t_k}^{i,N}(\theta_i))$$

- 1. $\psi_{-1,0}$ $\psi_{0,0}$ ondelettes père et mère,
- 2. $l_1 \in \mathbb{N}, l_2 \in \mathbb{Z}$. $\psi_{h,l_2}(x) = 2^{l_1/2} \psi_{0,0}(2^{l_1}x - l_2)$ $\psi_{-1,l_2}(x) = \psi_{-1,0}(x-l_2).$
- 3. $(\psi_{l_1 l_2})_{l_1 \ge -1, l_2 \in \mathbb{Z}}$ Base Hilbertienne de $L^2(\mathbb{R})$.
- 4. Kerkyacharian et Picard (2003): $\alpha \in [0,1] \mapsto u_b(t_k, x, G^{-1}(\alpha)) = \mathbb{E} (b(x, X_{t_k}(\theta)) \mid \theta = G^{-1}(\alpha)) \in L^2([0,1])$
- 5. $\forall \alpha \in [0,1], u_b(t_k, x, G^{-1}(\alpha)) = \sum_{h \in \mathcal{D}} \beta_{k,h}^{(k)}(x) \psi_{h,h}(\alpha)$.
- 6. Equivalent à : $\forall a \in \Theta$, $u_b(t_k, x, a) = \sum_{l, l, s} \beta_{l, l, s}^{(k)}(x) \psi_{l, l, s}(G(a))$. où :

$$\begin{split} \beta_{l_1 l_2}^{(k)}(x) &= \int_{\mathbb{R}} \psi_{l_1 l_2}(G(a)) u_b(t_k, x, a) \nu(da). \\ \widehat{\beta}_{l_1 l_2}^{(k)}(x) &= \frac{1}{N} \sum_{i=1}^{N} \psi_{l_1 l_2}\left(G_N(\theta_i)\right) b\left(x, \bar{X}_{t_k}^{i, N}(\theta_i)\right) \end{split}$$

7. $\widehat{u}_b(t_k, \bar{X}_{t_k}^{i,N}, \theta_i) = \sum_{k=-1}^{l_1^N} \sum_{l_2} \widehat{\beta}_{l_1 l_2}^{(k)}(\bar{X}_{t_k}^{i,N}) \psi_{l_1 l_2}(G(\theta_i))$ Si $W_1(p_0(x, G^{-1}(\alpha_1))dx, p_0(x, G^{-1}(\alpha_2))dx) \leq L|\alpha_1 - \alpha_2|^s$ alors $2^{I_1^N} = N^{\frac{1}{2s+1}}$

Vitesse de convergence

$$\mathbb{E}\left|\left\langle I(m_T), f\right\rangle - \tfrac{1}{N} \sum_{i=1}^N f(\bar{X}_T^{i,N}(\theta_i))\right| \leq C\left(\Delta t + \sqrt{\log N} N^{-\frac{s}{2s+1}}\right).$$

$$\begin{split} \bar{X}_{t_{k+1}}^{i}(\theta_{i}) = & \bar{X}_{t_{k}}^{i}(\theta_{i}) + u_{b}(t_{k}, \bar{X}_{t_{k}}^{i}(\theta_{i}), \theta_{i}) \Delta t + \sigma(W_{t_{k+1}}^{i} - W_{t_{k}}^{i}) \\ \bar{X}_{t_{k+1}}^{i,N}(\theta_{i}) = & \bar{X}_{t_{k}}^{i,N}(\theta_{i}) + \widehat{u}_{b}\left(t_{k}, \bar{X}_{t_{k}}^{i,N}(\theta_{i}), \theta_{i}\right) \Delta t + \sigma\left(W_{t_{k+1}}^{i} - W_{t_{k}}^{i}\right) \end{split}$$

Clé pour le calcul de l'erreur de régression

Il suffit de prouver une inégalité de déviation de la forme : $\forall \gamma > 0, \ \exists \kappa = \kappa(\gamma, b, \sigma, \psi, \nu),$

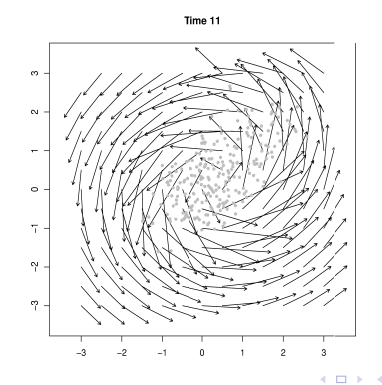
$$\mathbb{P}\left(|\bar{\beta}_{l_1 l_2}^{(k)}(\bar{X}_{t_k}^i) - \breve{\beta}_{l_1 l_2}^{(k)}(\bar{X}_{t_k}^i)| > \frac{\kappa}{2} \sqrt{\frac{\log N}{N}}\right) \leq \frac{C}{N^{\gamma}}$$

$$\begin{split} & \breve{\beta}_{l_1 l_2}^{(k)}(x) = \frac{1}{N} \sum_{j=1}^{N} \psi_{l_1 l_2} \left(G_N(\theta_i) \right) b(x, \bar{X}_{t_k}^i) \\ & \bar{\beta}_{l_1 l_2}^{(k)}(x) = \mathbb{E} \left(\frac{1}{N} \sum_{j=1}^{N} \psi_{l_1 l_2} (G(\theta_j)) b(x, \bar{X}_{t_k}^j(\theta_j)) \right) \\ & B_1 = |\breve{\beta}_{l_1 l_2}^{(k)}(x) - \mathbb{E} \left(\breve{\beta}_{l_1 l_2}^{(k)}(x) \mid \theta_1, \cdots, \theta_N \right) \mid \\ & B_2 = |\mathbb{E} \left(\breve{\beta}_{l_1 l_2}^{(k)}(x) \mid \theta_1, \cdots, \theta_N \right) - \mathbb{E} \left(\breve{\beta}_{l_1 l_2}^{(k)}(x) \right) \mid \\ & B_3 = |\mathbb{E} \left(\breve{\beta}_{l_1 l_2}^{(k)}(\bar{X}_{t_k}^i) \right) - \bar{\beta}_{l_1 l_2}^{(k)}(\bar{X}_{t_k}^i) |. \end{split}$$

Généralisations

- Estimateurs seuillés adaptatifs, lorsque *s* est inconnu.
- Généralisation à l'équation de Navier-Stokes 2D et à l'équation des vortex 2D qui décrivent l'évolution d'un fluide visqueux incompressible dans le plan :
 - ▶ Condition initiale signée et de norme L^1 différente de 1,
 - noyau d'interaction de Biot et Savart :

$$K(x_1-x_2)=b(x_1,x_2)=\frac{1}{2\pi|x|^2}(-x_2,x_1)$$



Tests numériques

Dans le cas où $P(d\omega) - a.s., w_0(., \theta)$ est une densité de probabilité :

$$\langle I_t(dx), |x|^2 \rangle = \langle I_0(dx), |x|^2 \rangle + 2t\sigma^2.$$

Erreur relative:

$$e(t) = \frac{\left|A(t) - A(0) - 2t\sigma^2\right|}{|A(t)|}$$
$$A(t) = \frac{1}{N} \sum_{i=1}^{N} |\bar{X}_t^{i,N}(\theta_i)|^2$$

Exemple 1 : mélange de lois normales

la loi de θ est un mélange de lois normales

$$\theta = 1_{Y=1}\theta^{(1)} + 1_{Y=0}\theta^{(2)},$$

où Y, $\theta^{(1)}$ et $\theta^{(2)}$ sont indépendantes. Y est une variable de Bernoulli de paramètre $p=0.3, \theta^{(1)}$ et $\theta^{(2)}$ sont deux variables normales d'espérances 1.3 et 0, et d'écart-type 0.2.

 \triangleright $\mathcal{L}(X_0(\theta)) = \mathcal{N}(U(\theta), 0.6)$, où U est 1-Lipschitzienne et bornée par U et U.

Exemple 1 : mélange de lois normales

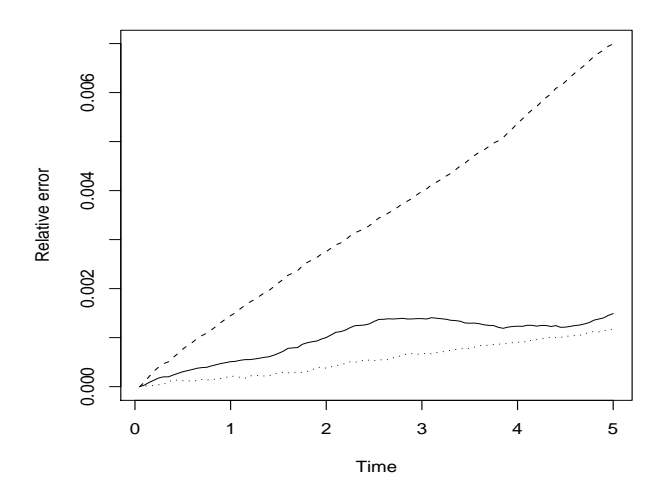


Fig.: Evolution de l'erreur relative.

Exemple 2 : gaussienne à large variance

- \triangleright θ est une variable gaussienne de "grande" variance $\mathcal{N}(0,5)$,
- $ightharpoonup \mathcal{L}(X_0(\theta)) = \mathcal{N}(U(\theta), 0.6)$, où U est 1-Lipschitzienne et bornée par U et \bar{U} .

Exemple 2 : gaussienne à large variance

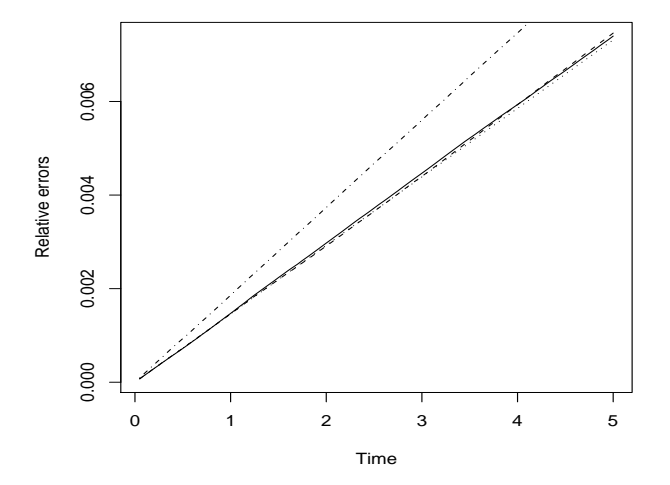


Fig.: Evolution de l'erreur relative pour la méthode 1 (avec 1 024 particules en ..., avec 32 768 particules en ...), 2 (en tiret, 1 024 particules) et 3 (ligne continue, 1 024 particules).